## АКТИВНЫЙ РЕЖЕКТОРНЫЙ ФИЛЬТР

## Ю. К. РЫБИН

(Представлена научным семинаром кафедры радиотехники)

Одной из важных характеристик активного режекторного фильтра (АРФ) является уровень подавления сигнала на частоте режекции и его стабильность. К сожалению, в обычных АРФ, выполненных на базе повторителя и пассивной *RC*-цепи, уровень подавления зависит от степени приближения характеристик повторителя к идеальным, с именно, от его входного и выходного сопротивления, их временной и температурной стабильности. В [1] проведен анализ схемы АРФ,

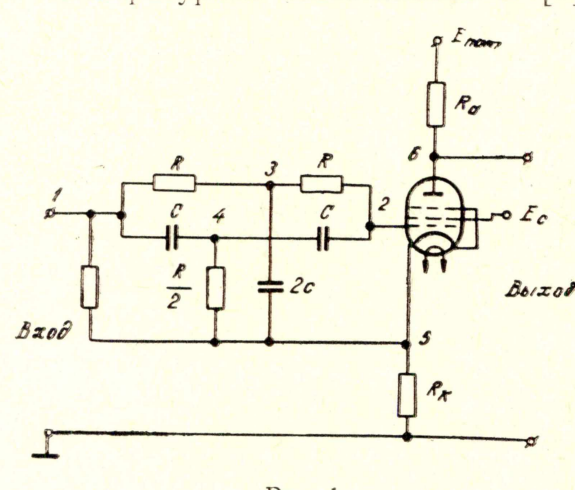


Рис. 1

в которой скомпенсировано влияние этих сопротивлений путем образования дополнительного канала прохождения сигнала на выход. Однако стабильность уровня подавления в этой схеме определяется точностью выполнения условий компенсации, которая может варьироваться при изменении внешних условий.

От этого недостатка практически свободна схема АРФ, которая приведена на рис. 1. В этой схеме образуется полюс затухания, но практически без каких-либо дополнительных

регулировок. Это обстоятельство имеет существенное значение в случае строго фиксированной настройки пассивной цепи (например, в случае использования режекторных фильтров на основе распределенных *RC*-линий).

Анализ схемы проведем, предполагая, что сопротивление участка сетка — катод равно  $\infty$ .

В этом случае коэффициенты передачи со входа на сетку и катод имеют вид

$$\dot{T}_{12} = \frac{T_0 + jQY'}{1 + jQY'} \dots, \tag{1}$$

$$\dot{T} = \frac{T_0 + jQK_n Y + jT_0 \frac{\omega}{\omega_0}}{1 + jQY'} \dots, \tag{2}$$

где  $T_0$  — коэффициент передачи при Y = 0;

$$T_0 = \frac{\alpha}{1 + \alpha - K_{\text{II}}},$$

 $\alpha$  — коэффициент, равный  $\frac{R_{\text{вых}}}{R}$ ;

 $R_{\text{вых}}$  — выходное сопротивление повторителя,  $K_{\text{п}}$  — коэффициент передачи повторителя; Q — эквивалентная добротность  $AP\Phi$ :

$$Q = \frac{q}{1 + \alpha - K_{\pi}} \cdot \sqrt{1 + \frac{\alpha}{q}} ,$$

q — добротность 2T-RC-моста; Y, Y' — обобщенная расстройка без учета и с учетом  $R_{\scriptscriptstyle \rm BMX}$ ,

$$Y = \left(\frac{\omega}{\omega_0} + \frac{\omega_0}{\omega}\right), \quad Y' = \left(\frac{\omega}{\omega_0'} - \frac{\omega_0'}{\omega}\right).$$

$$\omega_0' = \frac{\omega_0}{\sqrt{1+\frac{\alpha}{q}}}; \ \omega_0 -$$
 частота режекции.

Очевидно, что коэффициент передачи фильтра на выход равен

$$\dot{T}_{16} = -(\dot{T}_{12} - \dot{T}_{15}) SR_a \dots, \tag{3}$$

где S — крутизна лампы.

Подставляя (1) и (2) в (3), после несложных преобразований получим

$$\dot{T}_{16} = -\frac{K}{1 + K\beta} \cdot \frac{jQY}{1 + jQY'} \dots,$$
 (4)

тде К — коэффициент усиления усилителя без обратной связи,

β — коэффициент обратной связи

$$\beta = \frac{R_{\kappa}}{R_{\alpha}}.$$

Откуда амплитудно-частотная и фазо-частотная характеристики соответственно

$$|\dot{T}_{16}| = \frac{K}{1 + K\beta} \frac{Q \cdot Y}{\sqrt{1 + Q^2 Y'^2}} \dots,$$
 (5)

$$\varphi = \operatorname{arctg} \frac{1}{QY'} \dots \tag{6}$$

Анализируя выражения (5) и (6), можно заключить, что:

1. Частота режекции активного фильтра и пассивной нулевой цепи совпадают ( $|T_{16}| = 0$  при Y = 0).

2. Между амплитудно-частотной и фазо-частотной характеристикой имеется сдвиг по частоте ( $|T_{16}|=0$  при Y=0,  $\varphi=\pm 90$ ° при Y'=0).

3. Уровень подавления практически не зависит от выходного сопротивления.

Коэффициент нелинейных искажений фильтра невелик, так как обычно  $\beta \simeq 1$ , т. е. примерно равен искажениям повторителя. Не проводя дополнительного анализа, можно показать, что аналогичный эффект достигается и с любой другой нулевой цепью.

## Экспериментальная проверка

Исследовались АРФ с различными нулевыми цепями как с ламповым, так и транзисторным повторителем, причем в последнем случае повторитель выполнялся на составном транзисторе. Результаты экспериментальной проверки АРФ по схеме, приведенной на рис. 2, показаны

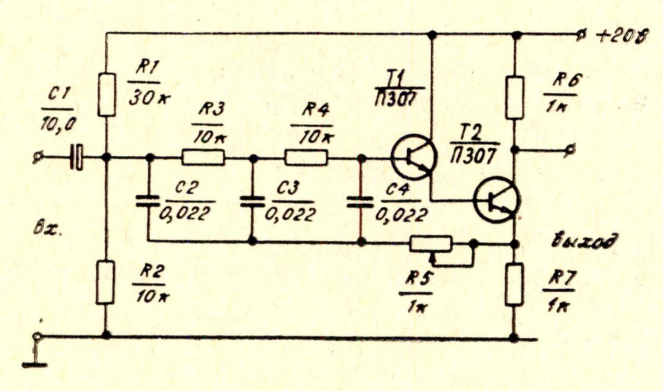
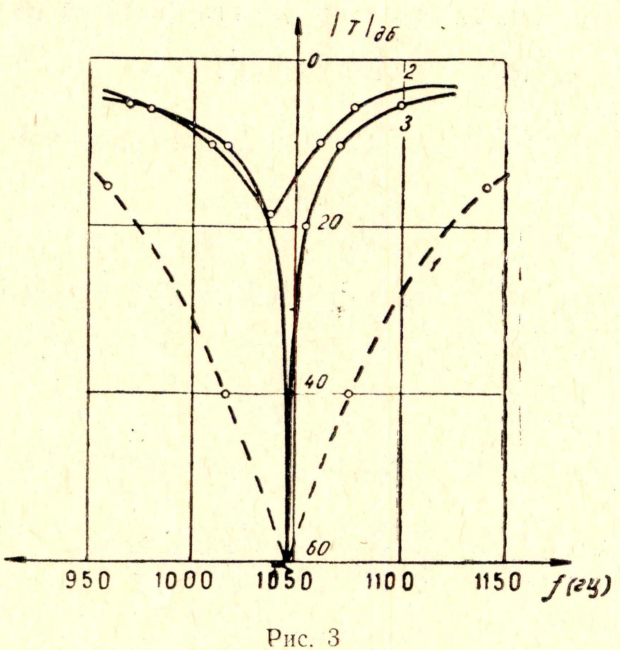


Рис. 2

на рис. 3. Для сравнения приведены амплитудно-частотные характеристики пассивной нулевой цепи (кривая 1), на эмиттере Т2 (кривая 2) и на выходе (кривая 3).



Как видно из рис. 3, основные выводы теоретического анализа достаточно убедительно подтверждены экспериментом.

## ЛИТЕРАТУРА

1. М. З. Чаповский, В. Н. Ловейко. Активный режектор с улучшенной характеристикой. В сб.: «Вопросы теории и практики активных фильтров». Таганрог, 1970, вып. 29.